

## УСТАНОВЛЕНИЕ РАСПРЕДЕЛЕННЫХ СПЕКТРОВ ИОННО-ЗВУКОВОЙ ТУРБУЛЕНТНОСТИ ПЛАЗМЫ

В. Ю. Быченков, О. М. Градов

УДК 533.951

*Доказано, что при превышении порога возбуждения длинноволновых ионно-звуковых колебаний в результате квазистационарной релаксации электронов на турбулентных пульсациях и индуцированного рассеяния ионов на ионном звуке в плазме устанавливаются распределенные спектры ионно-звуковой турбулентности.*

Несмотря на качественное соответствие полученных в работах /1,2/ распределенных (в  $\vec{K}$ -пространстве) квазистационарных спектров ионно-звуковой турбулентности (ИЗТ) экспериментальным результатам, отсутствие последовательной нестационарной теории ИЗТ оставляло открытым вопрос, касающийся установления таких распределенных спектров турбулентности и, следовательно, их адекватности экспериментам. Кроме того, в рамках тех же самых, что и в /1,2/ исходных положений о механизмах насыщения ИЗТ, была сформулирована альтернативная точка зрения, допускающая существование лишь сингулярных квазистационарных спектров турбулентности /3/. Чтобы выяснить, какое квазистационарное распределение ИЗТ устанавливается и устанавливается ли оно вообще, нами проведено численное исследование эволюции ИЗТ в условиях существенного превышения порога ионно-звуковой неустойчивости, когда инкремент раскачки по волновым числам достаточно широк, так что оказывается возможным возбуждение длинноволнового ионного звука. При этом показано, что в результате релаксации неустойчивости устанавливаются квазистационарные распределенные по волновым числам и углам спектры ИЗТ, которые вне области сильного ионного черенковского и столкновительного затухания хорошо согласуются с предсказаниями стационарной теории /1,2/, относящейся именно к этой области пространства волновых векторов.

Так же как и в стационарной теории /1,2/, будем одновременно учитывать эффекты релаксации электронов на ИЗТ и индуцированное рассеяние ионного звука на ионах. Тогда для  $N(\theta, k, t)$  — числа ионно-звуковых волн имеем:

$$\frac{\partial N(\theta, k, t)}{\partial t} = 2\Gamma_{NL}(\theta, k, t)N(\theta, k, t) + 2\gamma_s(k)[1 + \delta(k) + \delta_{st}(k)]N_{sp}(k) + \\ + 2\gamma_0 r_{De}^{-2}\mu \frac{\partial^2 N(\theta, k, t)}{\partial k^2}. \quad (1)$$

Здесь  $\Gamma_{NL}$  — нелинейный инкремент, учитывающий указанные выше нелинейные эффекты и обычное ионное затухание волн /1/:

$$\Gamma_{NL}(\theta, k, t) = 2\gamma_s(k)[\cos\theta\sqrt{1+k^2r_{De}^2}u(\theta, t) - 1 - \delta(k) - \delta_{st}(k)] + \\ + k^2v_{Ti}^2(1+k^2r_{De}^2)^{3/2} \frac{\partial}{\partial k} k^4(1+k^2r_{De}^2)^{3/2} \int_{-1}^1 d\cos\theta' Q(\sin\theta, \cos\theta') \times \\ \times \frac{N(\theta', k, t)}{4\pi n_e \kappa T_e}, \quad (2)$$

где  $\gamma_s(k) = \gamma_0 kr_{De}(1+k^2r_{De}^2)^{-2}$ ;  $\gamma_0 = \sqrt{\pi/8}\omega_{Li}^2/\omega_{Le}$ ;

$$\delta(k) = \delta \exp[k^2r_{De}^4/2r_{Di}^2(1+k^2r_{De}^2)]; \delta_{st}(k) = \delta_0(kr_{De})^{-1}(1+k^2r_{De}^2)^3;$$

$$u(\theta, t) = \frac{2}{\pi} \int_0^{\sin\theta} \frac{dx}{\sqrt{\sin^2\theta - x^2}} \frac{K_N + (1-x^2)^{-1/2} \chi_1(\sqrt{1-x^2}, t)}{\chi_2(\sqrt{1-x^2}, t) + K_N/K_{st}}; \quad (3)$$

$$x_n(x, t) = \frac{v_{Ti}^2}{\gamma_0} \int_0^x d\cos\theta \int_0^\infty k^4 dk \frac{N(\theta, k, t)}{4\pi n_e \kappa T_e} \frac{(1+k^2r_{De}^2)^{(n-5)/2}}{\sqrt{x^2 - \cos^2\theta}} \left\{ \frac{\cos\theta}{x} \right\}^n, \quad (4)$$

$$n = 1, 2; \quad (4)$$

последнее слагаемое в (1) моделирует малые ( $\mu \ll 1$ ) члены, связанные с четырехволновыми процессами. (см., например, /4/);  $N_{sp}$  характеризует тепловой уровень шумов;  $\theta$  — угол между волновым вектором  $\vec{k}$  и силой  $\vec{F}$ , действующей на электроны и вызывающей неустойчивость:  $\vec{F} = e\vec{E} - n_e^{-1}v_{Te}\kappa T_e$ . Величины  $\delta$ ,  $\delta_0$ ,  $K_N$ ,  $K_{st}$ ,  $Q(s, p)$  введены в работе /1/. При этом  $\delta$  и  $\delta_0$  характеризуют величину ионного черенковского и столкновительного затухания ионно-звуковых волн;  $K_N$  — турбулентное число Кнудсена, пропорциональное  $F$ ;  $K_{st}$  пропорционально обычному числу Кнудсена и характеризует линейный инкремент раскачки;  $Q(x, y)$  — ядро нелинейного взаимо-

действия, представляющее собой полином восьмой степени угловых переменных  $s$ ,  $p$ .

Согласно (2) – (4), уравнение (1) представляет собой нелинейное интегро-дифференциальное уравнение. Это уравнение с использованием безразмерных переменных  $t = 2\gamma_0 t$ ,  $x = \cos\theta$ ,  $y = k r_{De}$  решалось численно относительно функции  $W(x,y,t) = (v_{Ti}^2/\gamma_0 r_{De}^5) (y/\sqrt{1+y^2}) (N(\theta,k,t)/4\pi n_e e^k T_e)$ , пропорциональной спектральной плотности энергии ионного звука. В качестве начального выбиралось значение теплового шума  $W(x,y,0) = a = 10^{-3} \div 10^{-5}$ . Расчеты проводились при  $\delta$ ,  $\delta_0 < 1$  и для случая  $K_{st} \gg 1$ , что отвечало существенному превышению порога раскачки длинноволнового звука. Спустя время  $\tau$ , составляющее порядка нескольких значений величины  $(yK_{st})^{-1}$ , распределение шума не зависело от начального инкремента и начального теплового уровня, т. е. от параметров  $K_{st}$  и  $a$ . В достаточно широком диапазоне изменений параметра  $\mu$  от 0,1 до  $5 \cdot 10^{-4}$  результаты не зависели от этой величины.

В процессе релаксации турбулентности происходило ее насыщение, которое при  $K_N < 1$  достигалось за время, по порядку величины, составляющее несколько обратных значений величины  $y(\delta + \epsilon)$ , где  $\epsilon = (8K_N/3\pi) \ln(1/K_N)$  – параметр, введенный в /1/ для характеристики эффективности индуцированного рассеяния ионного звука на ионах. При  $K_N \gg 1$  соответствующее время составляло несколько обратных значений величины  $y\sqrt{K_N}$ . В режиме насыщения ИЗТ поведение интенсивности соответствует установленным в работах /1,2/ интерполяционным зависимостям  $\xi^2/4\pi \propto K_N(\delta + \epsilon)^{-1}$  при  $K_N < 1$  и  $\xi^2/4\pi \propto \sqrt{K_N}$  при  $K_N \gg 1$ , где  $\xi^2/4\pi$  – полная плотность энергии шумов.

Спектральное распределение турбулентных пульсаций по волновым числам в режиме насыщения имеет ярко выраженный максимум в области длинных волн  $y_m \ll 1$ . Малость энергии в коротковолновой области  $y \gtrsim 1$  обусловлена как эффектом перекачки за счет индуцированного рассеяния волн на ионах, так и черенковским ионным затуханием. Уменьшение энергии при  $y < y_m$  связано с сильной столкновительной диссипацией ионно-звуковых волн. При  $1 > y > y_m$  спектр близок к спектру Кадомцева – Петвиашвили (рис. 1).

Линии постоянного уровня функции спектрального распределения ( $W = \text{const}$ ) изображены на рис. 2, который демонстрирует как перекачку по длинам волн, так и то, что на начальном этапе релаксации ИЗТ турбулентные пульсации в основном концентрируются в направлении силы  $\vec{F}$ , вызывающей неустойчивость. Угловое распределение ИЗТ в режиме насыщения качественно различно для  $K_N < 1$  и  $K_N \gg 1$ . Квазистационарное распределение шума при  $K_N \gg 1$  имеет максимум в направлении, не совпадающем с направлением

43

оптимальной раскачки  $x = 1$ , в отличие от случая  $K_N < 1$ , где в режиме насыщения ИЗТ шум максимальен в направлении, совпадающем с направлением  $\vec{F}$ . Такой характер углового распределения ИЗТ находится в соответствии с теорией квазистационарных спектров [1,2]. Смещение максимума квазистационарного спектра по углу монотонно увеличивается с ростом  $K_N$ , достигая в пределе очень больших  $K_N$  значения  $\theta \cong 35^\circ$ , совпадающего с полученным в [2].

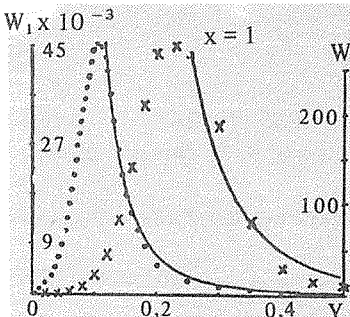


Рис. 1. Квазистационарные распределения  $W_1$  при  $K_N = 70$ ,  $\delta = 0,18$ ,  $\delta_0 = 0,5$  (точки),  $W_2$  при  $K_N = 0,4$ ,  $\delta = 10^{-4}$ ,  $\delta_0 = 0,1$  (крестики) и спектры Кадомцева – Петвиашвили (сплошные линии). Для распределений 1, 2  $y_m \cong 0,11$ ,  $y_m \cong 0,23$  соответственно.

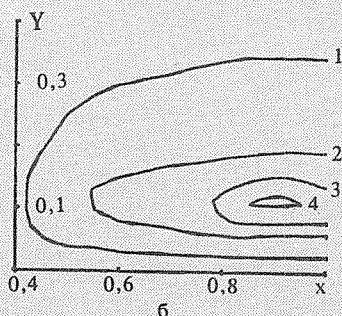
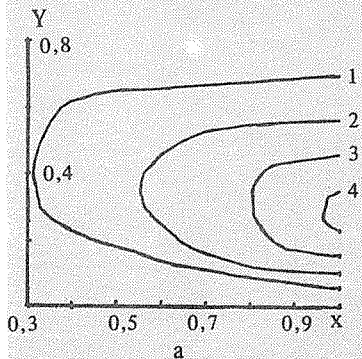


Рис. 2. Линии постоянного значения уровня шума ( $W = \text{const}$ ) при  $K_N = 70$ ,  $\delta = 0,18$ ,  $\delta_0 = 0,5$  на разных этапах развития ИЗТ: а)  $\tau = 2,5$ ,  $W = 10$  (1); 400 (2); 1200 (3); 2800 (4); б)  $\tau = 58$  (квазистационарное распределение),  $W = 300$  (1),  $10^4$  (2);  $2,8 \cdot 10^4$  (3);  $4 \cdot 10^4$  (4).

В результате численных расчетов выявлено подобие распределений шума по волновым числам при  $y > y_m$  для различных углов, указывающее на возможность приближенного представления полученного численного решения

для квазистационарных спектров ИЗТ в виде произведения двух функций, одна из которых зависит только от волнового числа, а другая — от угловой переменной. Это подтверждает правомерность использования метода разделения переменных в аналитическом подходе теории квазистационарных спектров /1,2/.

Авторы благодарны В. П. Силину за обсуждение результатов и внимание к работе.

Поступила в редакцию 11 февраля 1985 г.

#### ЛИТЕРАТУРА

1. Быченков В.Ю., Силин В.П. ЖЭТФ, 82, 1886 (1982).
2. Быченков В.Ю., Градов О.М., Силин В.П. Физика плазмы, 10, 33 (1984).
3. Натанзон А.М. Препринт Пр-853, Институт космических исследований, М., 1983.
4. Рейзман Б.Н., Захаров В.Е., Мушер С.Л. ЖЭТФ, 64, 1297 (1973).